

# 烟幕干扰弹的无人机投放策略研究

队伍编号: \_\_\_\_\_

2025 年 12 月 17 日

## 摘要

定点精确投放的烟幕干扰弹，可以在目标前方特定空域形成遮蔽，有效地干扰敌方导弹。本文针对无人机投放烟幕干扰弹以掩护地面目标的问题，建立了基于空气动力学和空间几何的数学模型。通过分析导弹与烟幕云团的相对运动关系，获得了不同情境下的最优投放策略，以最大化有效遮蔽时间。

针对**问题一**，我们建立了烟幕弹自由落体与扩散模型。已知无人机 *FY1* 的飞行参数，通过计算烟幕弹起爆时的空间位置与扩散半径，结合导弹 *M1* 的运动轨迹，求解出两者在时空上的交集，从而得出有效遮蔽时长。

针对**问题二**，这是一个单机单弹对单导弹的优化问题。以无人机飞行方向、速度、投放点和起爆点为决策变量，以遮蔽时间为目地函数，建立了非线性规划模型。利用遗传算法（Genetic Algorithm）进行求解，确定了使遮蔽时间最长的飞行参数。

针对**问题三**，在问题二的基础上引入多枚烟幕弹。考虑到烟幕生成的不连续性，建立了多波次干扰模型。通过规划三枚烟幕弹的时间间隔与空间分布，确立了“接力式”遮蔽策略，并将结果存入 *result1.xlsx*。

针对**问题四**和**问题五**，模型扩展为多机多弹协同对抗多枚导弹（*M1, M2, M3*）。我们将问题转化为多智能体协同任务分配（Task Assignment）与轨迹规划问题。构建了以总遮蔽效益最大化为目标的整数规划模型，给出了各架无人机的具体任务分配与投放指令。

**关键词：**烟幕干扰；动态几何遮蔽；多目标优化；投放策略；多机协同

# 目录

<b>1 问题重述</b>	<b>1</b>
1.1 问题背景 . . . . .	1
1.2 问题提出 . . . . .	1
<b>2 问题分析</b>	<b>1</b>
2.1 问题一的分析 . . . . .	1
2.2 问题二的分析 . . . . .	1
2.3 问题三的分析 . . . . .	2
2.4 问题四的分析 . . . . .	2
2.5 问题五的分析 . . . . .	2
<b>3 模型假设</b>	<b>2</b>
<b>4 符号说明</b>	<b>2</b>
<b>5 模型建立</b>	<b>3</b>
5.1 导弹运动模型构建 . . . . .	4
5.2 无人机运动模型构建 . . . . .	4
5.3 烟幕干扰弹的运动模型 . . . . .	5
5.4 烟幕弹的下沉模型 . . . . .	5
5.5 有效遮蔽判定模型 . . . . .	5
5.5.1 几何遮挡条件 . . . . .	5
5.5.2 点到线段距离算法 . . . . .	5
5.6 遮蔽时间定义 . . . . .	6
<b>6 模型求解</b>	<b>6</b>
6.1 问题一求解：固定参数 . . . . .	6
6.1.1 参数代入与场景设定 . . . . .	6
6.1.2 运动轨迹计算 . . . . .	7
6.1.3 有效遮蔽时长计算 . . . . .	7
6.1.4 模型汇总 . . . . .	8
6.1.5 求解结果： . . . . .	8
6.2 问题二求解：单机单弹优化 . . . . .	9
6.2.1 决策变量 . . . . .	9
6.2.2 运动状态方程 . . . . .	10
6.2.3 目标函数 . . . . .	10
6.2.4 约束条件 . . . . .	10

6.2.5 求解算法 . . . . .	10
6.3 问题三求解：多弹协同策略 . . . . .	11
6.3.1 决策变量 . . . . .	12
6.3.2 状态方程更新 . . . . .	12
6.3.3 目标函数 . . . . .	13
6.3.4 约束条件 . . . . .	13
6.3.5 求解算法 . . . . .	13
6.3.6 求解结果 . . . . .	14
6.4 问题四求解：多机协同优化 . . . . .	15
6.4.1 决策变量 . . . . .	15
6.4.2 状态方程 . . . . .	15
6.4.3 目标函数 . . . . .	16
6.4.4 约束条件 . . . . .	16
6.4.5 求解算法 . . . . .	16
6.4.6 求解结果 . . . . .	17
6.5 问题五求解：多机多目标协同拦截 . . . . .	18
6.5.1 决策变量体系 . . . . .	18
6.5.2 状态空间 . . . . .	18
6.5.3 目标函数 . . . . .	19
6.5.4 约束条件 . . . . .	19
6.5.5 求解算法 . . . . .	19
6.5.6 求解结果 . . . . .	20
<b>7 模型评价</b>	<b>21</b>
7.1 模型的优点 . . . . .	21
7.2 模型的改进方向 . . . . .	21

## 1 问题重述

### 1.1 问题背景

现代战争中，利用无人机投放烟幕干扰弹是保护地面重要目标的有效手段，具有成本低、效费比高等优点。烟幕弹在空中起爆后形成云团，形成遮蔽，干扰敌方导弹。本题要求在给定的战场环境下（包含来袭导弹位置、无人机位置、目标位置及物理参数），综合考虑多个物体的运动轨迹，设计无人机的飞行与投放策略，以实现最大化的遮蔽效果。

### 1.2 问题提出

- **问题 1：**对于给定单无人机  $FY1$  的具体飞行参数，根据运动学建立数学模型计算得出导弹  $M1$  的有效遮蔽时长。
- **问题 2：**从问题一的特殊情况出发拓展到了一般情况，优化单无人机  $FY1$  投放 1 枚烟幕弹的策略（方向、速度、投放点、起爆点），使遮蔽时间最大。
- **问题 3：**面对单无人机  $FY1$  投放多枚烟幕弹的情况，规划烟雾弹的投递时序，实现总遮蔽时间的最大化。
- **问题 4：**不同于单机多枚烟雾弹的情形，情况变成了多机协同 ( $FY1 - FY3$ ) 各投 1 枚弹对抗  $M1$ ，需要找到其投放的最优策略。
- **问题 5：**全要素协同场景，需要找到 (5 架无人机，每架最多 3 枚弹) 对抗 3 枚导弹 ( $M1 - M3$ ) 的最优策略。

## 2 问题分析

### 2.1 问题一的分析

问题一是最简单的情景，要求计算得到给定参数下的有效遮蔽时间。首先以烟幕弹爆炸瞬间的空间位置与导弹的空间位置作为初始值，后续考虑扩散半径，结合导弹运动轨迹，求解两者的交点，从而得到有效遮蔽时长。

### 2.2 问题二的分析

问题二是问题一的推广，需要将无人机飞行方向、速度、投放点、起爆点作为决策变量进行优化，以最大化遮蔽时间作为目标函数，获取在满足一定的约束条件下的最佳解。实现烟幕弹的最佳投放策略。

### 2.3 问题三的分析

问题三是问题二的优化，需要控制好烟幕弹投放的时序，完成烟幕弹的协同投放，以实现多弹接力式的遮蔽效果，从而实现最大化有效遮蔽时间。

### 2.4 问题四的分析

问题四是多机协同的情况，需要考虑多架无人机在时空上的协同，实现在空间与时间上的遮蔽效果的最大化。

### 2.5 问题五的分析

问题五是最复杂的情景，涉及多机多弹对抗多枚导弹的情况。需要综合考虑无人机的任务分配、轨迹规划以及烟幕弹的投放时序等多个因素，建立一个综合性的优化模型，以实现整体遮蔽效益的最大化。但是直接考虑所有的决策变量，时间复杂度与空间复杂度较高，无法直接求解。因而需要对问题进行简化，将问题转化为多智能体协同任务分配与投放策略问题。

## 3 模型假设

为简化问题，主要假设如下：

1. 假设烟幕弹在投放后忽略空气阻力，仅受重力作用做平抛运动。
2. 假设烟幕云团形成球状且半径在有效时间内保持稳定（或按题目给定速度扩散/下沉）。
3. 假设来袭导弹做匀速直线运动，不进行机动变轨。
4. 假设雷达发现目标时刻为  $t = 0$ 。
5. 忽略无人机调整飞行方向时的转弯半径，视为瞬时变向。
6. 假设无人机、导弹、烟幕弹、烟幕云团均为质点。

## 4 符号说明

本文主要使用的符号定义如下表4所示：

表 1: 符号说明 (按物理意义分组排序)

符号	含义	单位
$M_j$	第 $j$ 枚来袭导弹 ( $j = 1, 2, 3$ )	-
$FY_i$	第 $i$ 架无人机 ( $i = 1, 2, 3, 4, 5$ )	-
$V_m$	导弹飞行速度 (固定 300)	m/s
$v_{FY_i}$	第 $i$ 架无人机飞行速度	m/s
$\mathbf{v}_{FY_i}$	无人机速度向量	m/s
$\mathbf{n}_{M_j}$	导弹飞行方向单位向量	-
$\alpha$	无人机飞行航向角	rad
$g$	重力加速度	m/s <sup>2</sup>
$t_{drop}$	烟幕弹投放时刻	s
$t_{burst}$	烟幕弹起爆时刻	s
$t_{delay}$	烟幕弹起爆延时	s
$R_{cloud}$	烟幕云团有效遮蔽半径	m
$v_{cloud}$	烟幕云团下沉速度	m/s
$\mathbf{P}_{S,k}(t)$	第 $k$ 枚烟幕弹 $t$ 时刻位置	m
$\mathbf{P}_{B,k}$	第 $k$ 枚烟幕弹起爆位置	m
$D(t)$	烟幕云团中心到导弹-目标连线距离	m
$T_{cover}$	有效遮蔽时间	s
$I_j(t)$	第 $j$ 枚导弹的遮蔽指示函数	-

## 5 模型建立

根据题目描述首先建立统一的三维直角坐标系  $Oxyz$ 。以假目标中心为原点  $x$  轴与  $y$  轴位于水平面内,  $z$  轴竖直向上, 真目标位于点  $P_T = (0, 200, h_T)$  其中  $h_T$  为真目标中心高度。

第  $j$  枚导弹的初始位置位于点

$$P_{M_j}(0)$$

第  $i$  架无人机的初始位置位于点

$$P_{FY_i}(0)$$

我们可以利用 matlab 绘制初始时刻的宏观战场态势图, 如图1所示。

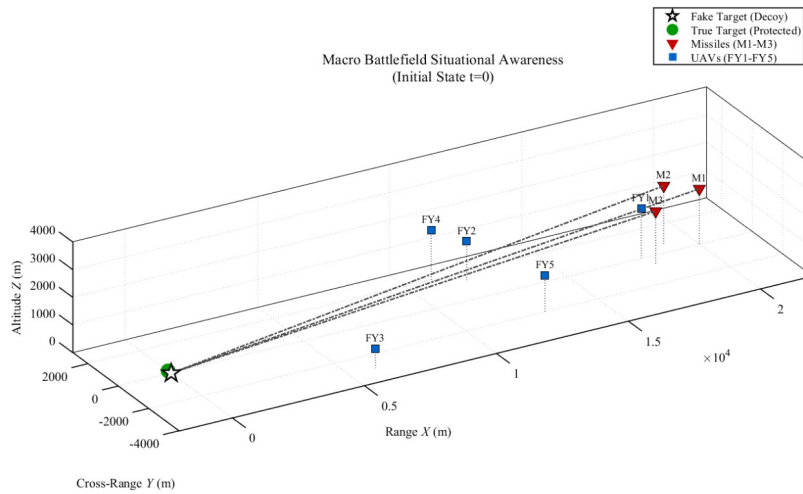


图 1: 宏观战场态势图

通过观察此图，我们可以发现，无人机群在导弹群前方按照扇形分布，形成了一个闪现拦截带，无人机 FY1 距离导弹群最近，这说明 FY1 后续可能应该优先对导弹进行拦截。同时在高度上，无人机群成梯度配置，可以形成低位前伸烟幕拦截网。

## 5.1 导弹运动模型构建

导弹  $M_j$  以速度  $V_m = 300m/s$  直线飞向假目标  $P_O$ ，其单位方向向量为：

$$\mathbf{n}_{M_j} = \frac{\mathbf{P}_O - \mathbf{P}_{M_j}(0)}{\|\mathbf{P}_O - \mathbf{P}_{M_j}(0)\|}$$

第  $j$  枚导弹初始位置为

$$\mathbf{P}_{M_j}(0)$$

导弹在任意时刻  $t$  的位置为：

$$\mathbf{P}_{M_j}(t) = \mathbf{P}_{M_j}(0) + V_m \mathbf{n}_{M_j}$$

## 5.2 无人机运动模型构建

第  $i$  枚无人机的初始位置为

$$\mathbf{P}_{FY_i}(0)$$

第  $i$  架无人机飞行速度为  $v_i$ , 航向角为  $\alpha_i$ , 其速度向量表示为:

$$\mathbf{v}_{FY_i} = v_i (\cos \alpha_i, \sin \alpha_i, 0)$$

无人机在任意时刻  $t$  的位置为:

$$\mathbf{P}_{FY_i}(t) = \mathbf{P}_{FY_i}(0) + \mathbf{v}_{FY_i} t$$

### 5.3 烟幕干扰弹的运动模型

设第  $k$  枚烟幕弹在  $t_{drop,k}$  时刻投放，起爆延时为  $t_{delay,k}$ ，重力加速度为  $g$  起爆时刻为:

$$t_{burst,k} = t_{drop,k} + t_{delay,k}$$

起爆位置为:

$$\mathbf{P}_{B,k} = \mathbf{P}_{FY_i}(t_{drop,k}) + \mathbf{v}_{FY_i} t_{delay,k} - \left(0, 0, \frac{1}{2} g t_{delay,k}^2\right)$$

### 5.4 烟幕弹的下沉模型

烟幕弹起爆后形成半径为  $R_{cloud}$  的球形云团，其中心以速度  $v_{cloud}$  匀速下沉:

$$\mathbf{P}_{S,k}(t) = \mathbf{P}_{B,k} - (0, 0, v_{cloud}(t - t_{p,k})), \quad t \geq t_{p,k}$$

### 5.5 有效遮蔽判定模型

#### 5.5.1 几何遮挡条件

根据题目，可知无人机及导弹的初始位置离真目标（原点为  $(0, 200, 0)$ ，半径为 7，高度为 10 的圆柱体）所在位置十分遥远，而题中未提到无人机和导弹的视野，那说明其不在题目考虑范围内。我们可以合理假设导弹视野为全范围，即只要在导弹正前方的事物，都处于导弹视野范围内，那对于一个距离十分远，且相对于距离量级来说大小很小的一个真目标，便于进行计算和后续的优化问题，我们可以将其简化为一个质点，进而将遮蔽条件转化为：当烟幕云团中心到“导弹与真目标质心连线”的垂直距离小于等于烟幕半径时，视为有效遮蔽。

#### 5.5.2 点到线段距离算法

设导弹位置为点 A，真目标位置为点 B，烟幕弹中心为点 P。向量  $\overrightarrow{AB} = B - A$ ，向量  $\overrightarrow{AP} = P - A$ 。投影系数 r 计算公式为:

$$r = \frac{\overrightarrow{AP} \cdot \overrightarrow{AB}}{\|\overrightarrow{AB}\|^2}$$

距离分三种情况讨论：

$$D(t) = \begin{cases} \|\overrightarrow{AP}\| & \text{if } r \leq 0 \text{ (导弹后方)} \\ \|P - B\| & \text{if } r \geq 1 \text{ (目标后方)} \\ \frac{\|\overrightarrow{AP} \times \overrightarrow{AB}\|}{\|\overrightarrow{AB}\|} & \text{if } 0 < r < 1 \text{ (线段投影内)} \end{cases}$$

## 5.6 遮蔽时间定义

遮蔽时间定义为：

$$I_j(t) = \begin{cases} 1, & \text{if } D_{k,i}(t) \leq R_{cloud} \text{ and } t \geq t_{p,k} \\ 0, & \text{otherwise} \end{cases}$$

其中  $D_{k,i}(t)$  为第  $k$  枚烟幕弹对第  $j$  枚导弹在时刻  $t$  的点到线段距离。

导弹  $j$  的总有效遮蔽时长为：

$$T_j = \int_0^{T_{end}} I_j(t) dt$$

在不同问题中，优化目标统一表示为：

$$\max T_{cover} = \sum_j T_j$$

## 6 模型求解

### 6.1 问题一求解：固定参数

问题一针对的是具体场景在给定所有的参数下（烟幕弹的投放时间，起爆时间），求解得出单枚烟幕弹对单枚导弹的有效遮蔽时间，需要我们利用各个物体的位置函数，结合有效遮挡判据得到有效遮挡时间。针对本题，飞行策略和投弹策略为题目给定，本题求解核心在于对已知任务的仿真模拟，所以直接使用时间步长离散化仿真即可解决本题。

#### 6.1.1 参数代入与场景设定

根据题目条件，无人机  $FY_1$  的初始位置为  $\mathbf{P}_{FY_1}(0) = (17800, 0, 1800)$ ，飞行速度为  $v_{FY_1} = 120 \text{ m/s}$ ，航向指向假目标  $\mathbf{P}_O = (0, 0, 0)$ 。烟幕干扰弹在受领任务后  $t_{drop} = 1.5 \text{ s}$  时投放，起爆延迟时间为  $t_{delay} = 3.6 \text{ s}$ 。导弹 M1 的初始位置为  $\mathbf{P}_M(0) = (20000, 0, 2000)$ ，飞行速度为  $v_M = 300 \text{ m/s}$ ，并沿直线飞向假目标。烟幕云团半径取  $R_s = 10 \text{ m}$  下沉速度取  $v_s = 3 \text{ m/s}$ 。

### 6.1.2 运动轨迹计算

由模型建立中的运动模型，可确定系统中各实体的空间位置。无人机在投放时刻的空间位置为

$$\mathbf{P}_{FY_1} = \mathbf{P}_{FY_1}(t_{drop}).$$

烟幕干扰弹的起爆时刻为

$$t_{burst} = t_{drop} + t_{delay},$$

其起爆位置为

$$\mathbf{P}_{burst} = \mathbf{P}_{FY_1}(t_{drop}) + \mathbf{v}_{FY_1} t_{delay} - (0, 0, \frac{1}{2} g t_{delay}^2).$$

起爆后，烟幕云团中心以恒定速度沿竖直方向下沉，其在任意时刻  $t$  的位置为

$$\mathbf{P}_S(t) = \mathbf{P}_{burst} - (0, 0, v_s(t - t_{burst})), \quad t \geq t_{burst}.$$

导弹 M1 在任意时刻  $t$  的位置为

$$\mathbf{P}_M(t) = \mathbf{P}_M(0) + v_M \mathbf{n}_M t,$$

其中  $\mathbf{n}_M$  为导弹指向假目标的单位方向向量。

### 6.1.3 有效遮蔽时长计算

为计算烟幕干扰弹对导弹 M1 的有效遮蔽时长，将导弹飞行全过程时间区间  $[0, T_{end}]$  进行离散化处理。设时间步长为  $\Delta t$ ，离散时间点为

$$t_k = k\Delta t, \quad k = 0, 1, \dots, N.$$

在每一离散时刻  $t_k$ ，计算烟幕云团中心到导弹与真目标连线的最短距离  $d(t_k)$ 。当满足

$$d(t_k) \leq R_{cloud} \quad \text{且} \quad t_k \geq t_{burst}$$

时，认为该时刻烟幕对导弹 M1 实现有效遮蔽。定义遮蔽指示函数

$$I(t_k) = \begin{cases} 1, & d(t_k) \leq R_{cloud}, t_k \geq t_{burst}, \\ 0, & \text{otherwise.} \end{cases}$$

则烟幕干扰弹对导弹 M1 的总有效遮蔽时长可近似表示为

$$T_{cover} \approx \sum_{k=0}^N I(t_k) \Delta t.$$

### 6.1.4 模型汇总

$$\left\{ \begin{array}{l} \mathbf{P}_M(t) = \mathbf{P}_M(0) + V_m \mathbf{n}_M t \\ \mathbf{P}_{FY_1}(t) = \mathbf{P}_{FY_1}(0) + \mathbf{v}_{FY_1} t \\ \mathbf{P}_B = \mathbf{P}_{FY_1}(t_{drop}) + \mathbf{v}_{FY_1} t_{delay} - \left( 0, 0, \frac{1}{2} g t_{delay}^2 \right) \\ \mathbf{P}_S(t) = \mathbf{P}_B - (0, 0, v_{cloud}(t - t_{burst})) \\ D(t) = \begin{cases} \|\overrightarrow{AP}\| & \text{if } r \leq 0 \text{ (导弹后方)} \\ \|P - B\| & \text{if } r \geq 1 \text{ (目标后方)} \\ \frac{\|\overrightarrow{AP} \times \overrightarrow{AB}\|}{\|\overrightarrow{AB}\|} & \text{if } 0 < r < 1 \text{ (线段投影内)} \end{cases} \\ I(t) = \begin{cases} 1, & \text{if } D(t) \leq R_{cloud} \text{ and } t \geq t_{burst} \\ 0, & \text{otherwise} \end{cases} \\ T = \int_0^{T_{end}} I(t) dt \end{array} \right.$$

### 6.1.5 求解结果：

经计算,结果如下图2所示, 烟幕弹起爆时刻: $t = 5.10s$ , 烟幕起爆初始坐标:(17188.00, 0.00, 1736.50)有效遮蔽时间段为  $8.1 - 9.5s$ , 总时长为  $1.4s$ 。

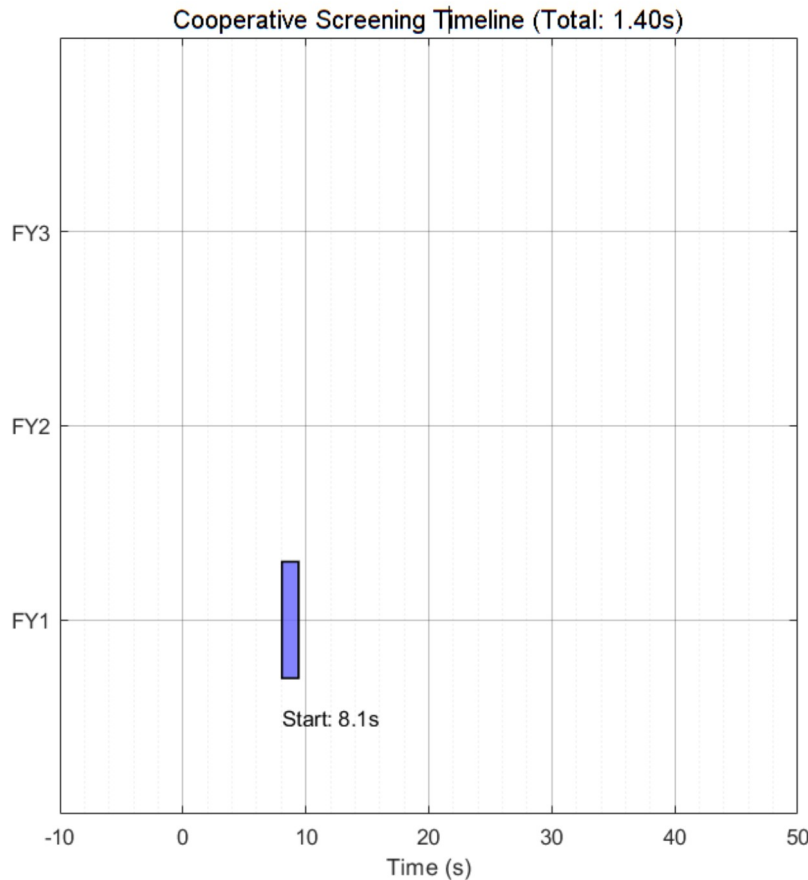


图 2: 问题一结果

## 6.2 问题二求解：单机单弹优化

在问题二中，无人机 FY1 的任务是通过自身的飞行参数和投弹时机，使得单枚烟雾弹对导弹 M1 的有效遮蔽时间最大化。

### 6.2.1 决策变量

根据题目要求，无人机一旦受领任务，其速度和航向就确定了且不再调整。因此在进行任务决策时我们需要决策以下四个变量：飞行速度  $v_{FY1}$ , 飞行航向角  $\alpha$ , 投放时刻  $t_{drop}$ , 延时起爆时间  $t_{delay}$ , 由此定义出决策向量 X:

$$X = [v_{FY1}, \alpha, t_{drop}, t_{delay}]^T$$

### 6.2.2 运动状态方程

基于问题一的运动学模型，需要将无人机的速度向量参数化。无人机速度向量可表示为：

$$\mathbf{v}_{FY_1} = \begin{bmatrix} v_{FY_1} \cos \alpha \\ v_{FY_1} \sin \alpha \\ 0 \end{bmatrix}$$

投放点位置和起爆点位置更新为用 X 表示的函数：

$$\begin{aligned} \mathbf{P}_{drop}(X) &= \mathbf{P}_{FY_1}(0) + \mathbf{v}_{FY_1}(v_{FY_1}, \alpha) \cdot t_{drop} \\ \mathbf{P}_{burst}(X) &= \mathbf{P}_{drop}(X) + \mathbf{v}_{FY_1}(v_{FY_1}, \alpha) \cdot t_{delay} + \left[ 0, 0, -\frac{1}{2} g t_{delay}^2 \right]^T \end{aligned}$$

### 6.2.3 目标函数

目标是最大化有效遮蔽时长，利用问题一中定义的遮蔽判定指示函数得出目标函数：

$$max J(X) = T_{cover} = \int_0^{T_{end}} I(t, X) dt$$

### 6.2.4 约束条件

根据题目和对于模型速度特征的分析，约束条件如下：速度约束：

$$70 \leq v_{FY_1} \leq 140$$

时间约束：

$$0 < t_{drop} \leq 12, 1 \leq t_{delay} \leq 8$$

高度约束：

$$z_{burst}(X) > 0$$

### 6.2.5 求解算法

由于目标函数涉及复杂的几何运动及分段逻辑，具有高度的非线性和非凸性，且决策变量相对于一般的单变量优化问题具有高自由度。所以为了解决此类问题，本问题采用双层优化策略，外层使用网格扫描，内层使用粒子群优化算法。

**算法整体架构** 外层循环（针对速度，因为速度对优化结果的影响最大）：将速度在 [70, 140] 区间内以 0.5m/s 为步长进行离散化扫描。内层循环（针对剩余参数）：针对每一个固定的速度，使用 PSO 算法寻找最优组合。这样分层寻优的好处是将优化问题维度从 4 维降至 3 维，降低了搜索难度，降低问题陷入局部最优的概率。

**粒子群算法设计** 在内层针对剩余决策变量进行寻优。设置粒子群规模为  $N=30$ ; 粒子速度与位置更新公式:

$$v_i^{k+1} = w v_i^k + c_1 r_1 (p_{best,i} - x_i^k) + c_2 r_2 (g_{best} - x_i^k)$$

$$x_i^{k+1} = x_i^k + v_i^{k+1}$$

适应度函数:

$$F(x) = -T_{cover}(x)$$

**求解结果：** 经过计算，得到最优投放策略如下：

无人机以  $196.91^\circ$  的航向角度， $72\text{m/s}$  的速度， $0\text{s}$  时刻投放， $2.4991\text{s}$  后起爆，有效遮蔽时长为  $4.738\text{s}$  如下图3所示。

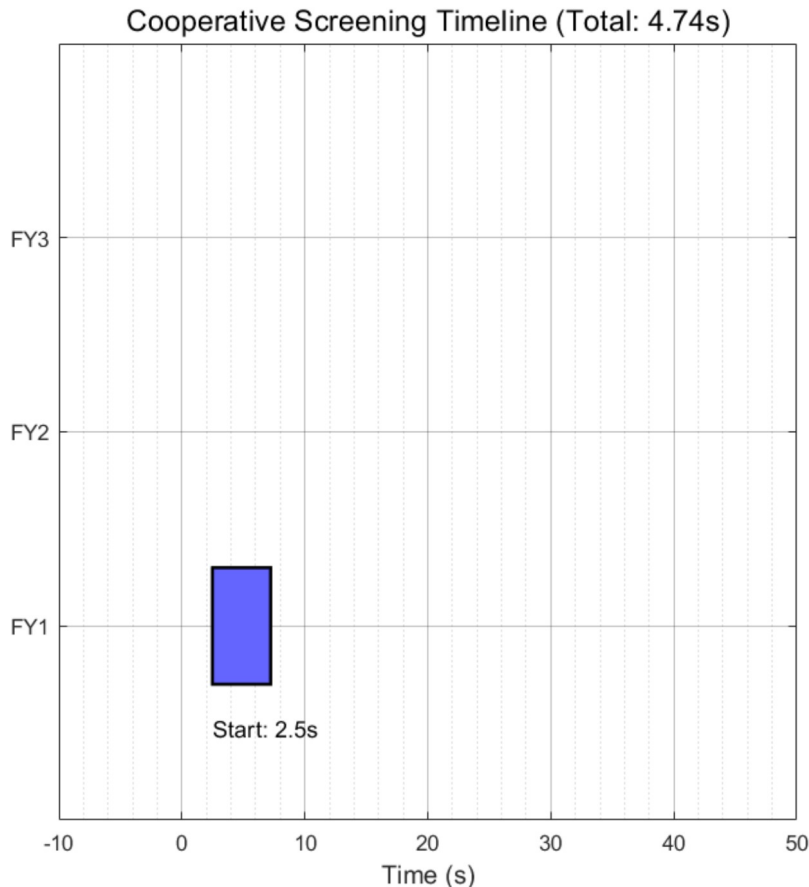


图 3: 问题二结果

### 6.3 问题三求解：多弹协同策略

在本题中，无人机 FY1 需要连续投放 3 枚烟幕弹以对导弹 M1 实施干扰。与投放一枚烟幕弹不同，三枚烟幕弹的投弹策略涉及时间上的配合，核心问题在对多参数的优化使得烟幕弹的遮蔽时间最大

### 6.3.1 决策变量

根据题目要求，无人机一旦受领任务，其速度和航向就确定了且不再调整。因此在进行任务决策时我们需要决策以下八个变量：

飞行速度

$$v_{FY_1}$$

飞行航向角

$$\alpha$$

投放时刻 1

$$t_{drop,1}$$

投放时刻 2

$$t_{drop,2}$$

投放时刻 3

$$t_{drop,3}$$

延时起爆时间 1

$$t_{delay,1}$$

延时起爆时间 2

$$t_{delay,2}$$

延时起爆时间 3

$$t_{delay,3}$$

由此定义出决策向量 X:

$$\mathbf{X} = [v_{FY_1}, \alpha, t_{drop,1}, t_{drop,2}, t_{drop,3}, t_{delay,1}, t_{delay,2}, t_{delay,3}]^T$$

### 6.3.2 状态方程更新

基于问题一的运动学模型，第  $k$  枚烟幕弹的运动状态由下式描述 1. 投放点坐标：

$$P_{drop,k}(\mathbf{X}) = B_0 + \mathbf{v}_{FY_1}(v_{FY_1}, \alpha) \cdot t_{drop,k}$$

2. 起爆点坐标

$$P_{burst,k}(\mathbf{X}) = P_{drop,k}(\mathbf{X}) + \mathbf{v}_{FY_1}(v_{FY_1}, \alpha) \cdot t_{delay,k} + \left[ 0, 0, -\frac{1}{2}gt_{delay,k}^2 \right]^T$$

3. 烟幕云团中心轨迹：起爆时刻  $t_{burst,k} = t_{drop,k} + t_{delay,k}$  后，第  $k$  个云团中心位置为

$$P_{S,k}(t) = P_{burst,k} - [0, 0, v_{sink} \cdot (t - t_{burst,k})]^T, \quad t \in [t_{burst,k}, t_{burst,k} + 20]$$

### 6.3.3 目标函数

由于 3 个烟幕团可能同时存在并产生遮挡效果，总遮蔽时间不能简单求和，而应计算时间轴上的并集。定义第  $k$  枚烟幕弹在  $t$  时刻的遮蔽指示函数  $I_k(t; \mathbf{X})$ :

$$I_k(t; \mathbf{X}) = \begin{cases} 1, & \text{if } D_k(t) \leq R_{cloud} \text{ and } t \in [t_{burst,k}, t_{burst,k} + 20] \\ 0, & \text{otherwise} \end{cases}$$

其中  $D_k(t)$  为第  $k$  个烟幕中心到“导弹-目标”视线的距离（计算方法同问题一）。

系统在  $t$  时刻的遮蔽状态是所有单个烟幕弹的逻辑或

$$I_{total}(t; \mathbf{X}) = \max\{I_1(t), I_2(t), I_3(t)\}$$

最终优化目标为最大化总有效遮蔽时长  $T_{cover}$ :

$$\max J(\mathbf{X}) = T_{cover} = \int_0^{T_{end}} I_{total}(t; \mathbf{X}) dt$$

### 6.3.4 约束条件

根据题目和对于模型速度特征的分析，约束条件如下：除了满足问题二中的飞行与高度约束外，本问必须严格满足多枚弹之间的操作间隔约束：

投弹间隔约束：题目要求每架无人机投放两枚烟幕弹至少间隔 1s。

$$t_{drop,k+1} - t_{drop,k} \geq 1, \quad k = 1, 2$$

基本边界约束：

$$\begin{cases} 70 \leq v_{FY_1} \leq 140 \\ 0 < t_{drop,1} < t_{drop,2} < t_{drop,3} \leq 12 \\ 1 \leq t_{delay,k} \leq 8, \quad k = 1, 2, 3 \end{cases}$$

高度约束：

$$z_{burst,k}(\mathbf{X}) > 0, \quad k = 1, 2, 3$$

### 6.3.5 求解算法

针对决策变量维数增加（由 4 维增至 8 维）且包含时序逻辑约束的问题，传统的优化算法容易陷入停滞，因此我们采用引入灾变机制的改进粒子群算法求解。

**算法整体架构** 不再采用网格扫描，而是直接在 8 维解空间内进行全局寻优。算法通过监测种群的进化状态，动态调整搜索策略，平衡全局探索与局部开发能力。

## 改进粒子群算法设计

- 粒子编码与约束处理:

虽然决策变量定义为绝对时刻，但在算法实现中，为了自动满足间隔约束，对时间参数采用增量编码 ( $\Delta t_{12}, \Delta t_{23}$ ) 进行搜索，解码时再转换为绝对时间  $t_{drop}$ 。

- 灾变重启机制:

针对多波次协同容易陷入局部最优的问题，引入“灾变”策略

**停滞检测：**设置停滞计数器 stagnation\_counter，若全局最优解  $G_{best}$  连续一定代数未更新，则判定算法陷入停滞。

**灾变操作：**触发灾变，保留种群中前 10% 的精英粒子（历史最优个体），对其余 90% 的粒子进行完全重置（位置与速度重新随机化）。该机制能有效打破种群的聚集状态，跳出局部极值陷阱，寻找更优的多弹协同策略。

- 适应度函数：对时间轴进行离散化扫描，计算每一时刻系统总遮蔽状态  $I_{sys}(t)$ ，积分得到总有效时长，取负值作为适应度函数  $F(\mathbf{X}) = -T_{cover}$  进行极小化求解。

### 6.3.6 求解结果

根据上述的流程，我们采用灾变机制的改进粒子群算法得到无人机 FY1 航向方向角为  $180.67^\circ$ ，速度大小为  $95\text{m/s}$  时对应的最大有效遮挡时间是  $12.54241\text{s}$  投放 3 枚烟幕弹干扰导弹 M1 的最优策略见下图4，三枚烟幕弹的具体投放策略见下表6.3.6。

表 2: Problem 3 最终策略

参数	数值
最大有效遮蔽时长	12.54241 s
无人机速度	95 m/s
无人机航向	3.1533 rad ( $180.67^\circ$ )
<b>烟幕弹时间链</b>	
烟弹 1 投放时刻	0.0000 s
烟弹 1 起爆时刻	0.0000 s
烟弹 2 投放时刻	2.7509 s
烟弹 2 起爆时刻	6.4326 s
烟弹 3 投放时刻	8.0057 s
烟弹 3 起爆时刻	13.3706 s

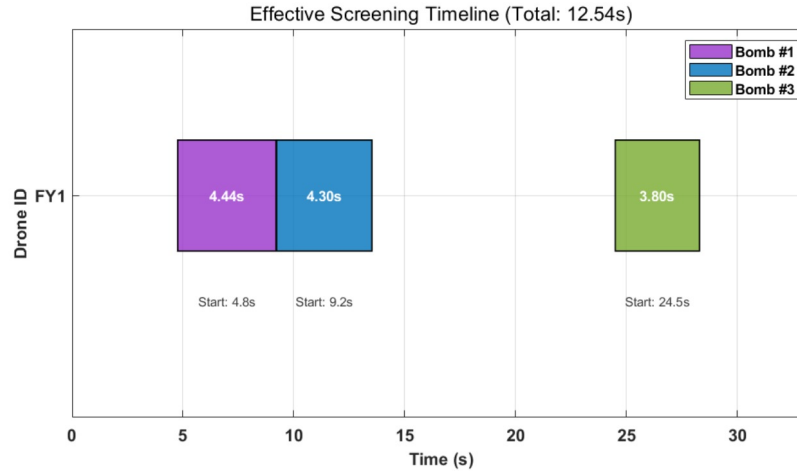


图 4: Problem 3 结果

## 6.4 问题四求解：多机协同优化

在问题四中，任务变更为  $FY_1$   $FY_2$   $FY_3$  三架无人机共同拦截导弹  $M1$ ，每架无人机投放一枚烟幕弹，核心问题在于协调三架处于不同空间位置的无人机的投弹策略，使得烟幕弹的遮蔽时间最大。

### 6.4.1 决策变量

根据题目要求，无人机一旦受领任务，其速度和航向就确定了且不再调整。因此在进行任务决策时我们需要决策 12 维变量：系统包含 3 个独立的运动实体（无人机）。定义  $i \in 1, 2, 3$  分别对应  $FY_1, FY_2, FY_3$ 。每个实体的决策向量  $\mathbf{u}_i$  包含 4 个参数：

$$\mathbf{u}_i = [v_i, \alpha_i, t_{drop,i}, t_{delay,i}]$$

全局决策向量 X 维 12 维向量：

$$\mathbf{X} = [\mathbf{u}_1, \mathbf{u}_2, \mathbf{u}_3] = [v1, 1, t_{drop}, 1, t_{delay}, 1, \dots, v3, 3, t_{drop}, 3, t_{delay}, 3]^T$$

### 6.4.2 状态方程

各无人机的初始位置  $\mathbf{Pos}_{UAV,i}$  不同，第  $i$  架无人机投放的烟幕弹在  $t$  刻的中心位置  $P_{S,i}(t)$  更新公式如下投放点坐标：

$$P_{drop,i} = \mathbf{Pos}_{UAV,i} + \mathbf{v}_i(v_i, \alpha_i) \cdot t_{drop,i}$$

起爆点坐标

$$P_{burst,i} = P_{drop,i} + \mathbf{v}_i \cdot t_{delay,i} + \mathbf{G}(t_{delay,i})$$

其中  $\mathbf{G}(t) = [0, 0, -\frac{1}{2}gt^2]^T$  为重力项。

烟幕云团中心轨迹：

$$P_{S,i}(t) = P_{burst,i} - [0, 0, v_{sink} \cdot (t - t_{burst,i})]^T$$

#### 6.4.3 目标函数

由于 3 个烟幕团可能同时存在并产生遮挡效果，总遮蔽时间不能简单求和，而应计算时间轴上的并集。定义第  $i$  个烟幕云团对目标的遮蔽指示函数  $I_i(t)$ ：

$$I_i(t; \mathbf{X}) = \begin{cases} 1, & \text{if } \text{dist}(P_{S,i}(t), \text{Line}_{M1-Target}) \leq R_{cloud} \\ 0, & \text{otherwise} \end{cases}$$

系统总遮蔽状态为各子状态的逻辑或：

$$I_{sys}(t) = \max_{i=1,2,3} I_i(t)$$

最终优化目标函数定义为最小化代价  $J(\mathbf{X})$ ：

$$\min J(\mathbf{X}) = - \left( \int_0^{T_{end}} I_{sys}(t) dt \right) + \lambda \cdot \sum_{i=1}^3 \max(d_{min,i}, R_{cloud})$$

其中：第一项为总遮蔽时长（取负求最小），第二项为惩罚项， $d_{min,i}$  为第  $i$  枚烟幕弹在其生命周期内距离视线的最近距离， $\lambda = 0.1$  为权重系数。当烟幕完全脱靶时，该项通过惩罚距离迫使解向视线靠拢。

#### 6.4.4 约束条件

速度约束：

$$70 \leq v_i \leq 140, \quad \forall i$$

时间窗约束：我们通过物理知识可知，遮蔽的理想状态是烟幕弹之间无缝接力，所以设置时间窗口约束，减小搜索空间：

$$t_{drop,1} \leq 15, \quad t_{drop,2} \leq 35, \quad t_{drop,3} \leq 55$$

起爆延时约束：

$$1 \leq t_{delay,i} \leq 8$$

高度约束：

$$z_{burst,k}(\mathbf{X}) > 0, \quad k = 1, 2, 3$$

#### 6.4.5 求解算法

由于决策变量维数增加为 12 维，而且各维度之间差异较大，所以第四问我们选择鲁棒性强的差分进化算法（DE）求解

## 算法流程设计

- 种群初始化：生成  $NP=200$  个个体。针对航向角  $\alpha_i$ ，基于各无人机到目标的初始视线角  $\theta_{base,i}$  进行正态分布初始化，范围控制在  $\theta_{base,i} \pm 45^\circ$  内，提高搜索效率
- 变异：采用 DE/rand/1 策略生成变异向量  $\mathbf{V}_g$ ：

$$\mathbf{V}_{i,g} = \mathbf{X}_{r1,g} + F \cdot (\mathbf{X}_{r2,g} - \mathbf{X}_{r3,g})$$

其中缩放因子  $F$  采用自适应策略，随迭代次数从 0.5 线性衰减，平衡全局探索与局部开发。

- 交叉：对变异向量与目标向量进行二项式交叉，生成试验向量  $\mathbf{U}_{i,g}$ 。交叉概率  $CR = 0.9$ 。
- 选择：计算试验向量与目标向量的适应度，选择适应度更优的个体进入下一代。采用贪婪策略，若试验向量的适应度优于目标向量，则在下一代中保留试验向量：

$$\mathbf{X}_{i,g+1} = \begin{cases} \mathbf{U}_{i,g}, & \text{if } J(\mathbf{U}_{i,g}) < J(\mathbf{X}_{i,g}) \\ \mathbf{X}_{i,g}, & \text{otherwise} \end{cases}$$

- 终止条件：最大迭代次数  $G_{max} = 800$  或适应度不再显著提升

### 6.4.6 求解结果

我们通过差分进化算法（DE）用 matlab 求解得到了最大的总遮蔽有效时间 15s，并且烟幕弹的遮蔽时间衔接良好，提供较好的遮蔽效果。对应的三机协同投放策略如下表6.4.6所示，效果如下图5所示。

表 3: 问题 4 三机协同立体封锁最终策略

机号	初始位置 (m)	速度 (m/s)	航向 (°)	投放时刻 (s)	延时 (s)	起爆时刻 (s)
FY1	(17800, 0, 1800)	78.65	178.42	0.67	2.87	3.55
FY2	(12000, 1400, 1400)	119.78	-129.29	6.69	7.84	14.53
FY3	(6000, -3000, 700)	135.11	106.94	18.00	6.09	24.09

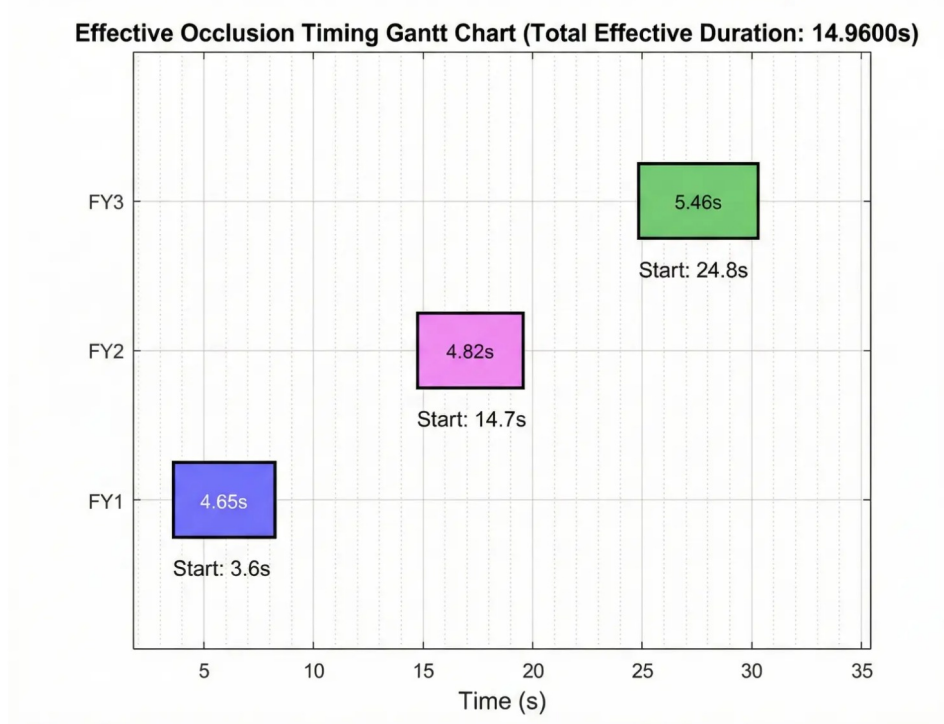


图 5: 问题 4 三机协同立体封锁结果

## 6.5 问题五求解：多机多目标协同拦截

在问题五中，作战场景扩展为 5 架无人机  $FY_1 - FY_5$  协同拦截 3 枚来袭导弹  $M_1 - M_3$ 。每架无人机最多可携带 3 枚烟幕弹。问题的核心在于如何在复杂的空间分布下，合理分配无人机的飞行策略和弹药资源，使得对所有导弹的总有效遮蔽时间最大化。

### 6.5.1 决策变量体系

考虑到问题规模显著扩大，且受到前几问优化算法的启发，我们将决策变量分为战略层（飞行参数）和战术层（投弹参数）。战略决策变量：定义全局飞行决策向量，包含 5 架无人机的速度和航向：

$$X_{fly} = [v_1, \alpha_1, v_2, \alpha_2, \dots, v_5, \alpha_5]^T$$

战术决策变量：对于第  $i$  架无人机，其携带的第  $k$  枚烟幕弹  $k = 1, 2, 3$  的投放参数由算法在内层生成，不直接作为外层优化变量，但需满足物理约束：

$$u_{i,k} = [t_{drop}^{(i,k)}, t_{delay}^{(i,k)}]$$

### 6.5.2 状态空间

多导弹运动模型的建立参考第一问，因为每个导弹的飞行特性为一致，只有初始位置不同。多无人机运动模型亦可由之前类比得到。

### 6.5.3 目标函数

由于存在 3 个独立的来袭目标，系统总效益定义为所有导弹被有效遮蔽时长的总和：

$$S_j(t) = \bigvee_{i=1}^5 \bigvee_{k=1}^3 I_{i,k,j}(t)$$

最终优化目标为最大化总效益 J：

$$\max J(X_{fly}) = \sum_{j=1}^3 \left( \int_0^{T_{end}} S_j(t) dt \right)$$

### 6.5.4 约束条件

最大载弹量约束：每架无人机投放数量  $N \leq 3$ ；

投弹间隔约束：

$$|t_{drop}^{(i,k)} - t_{drop}^{(i,k-1)}| \geq 1, \forall k > 1$$

飞行边界约束：

$$70 \leq v_i \leq 140, 0 \leq \alpha_i \leq 2\pi$$

### 6.5.5 求解算法

针对 5 机 3 弹的高维组合优化问题，依旧采用双层优化结构。外层使用遗传算法搜索无人机的最优飞行参数，内层使用贪心启发式算法快速计算给定航迹下的最优投弹方案。

- 外层：遗传算法全局寻优将 5 架无人机的速度和航向编码为一条染色体。采用实数编码，操作算子采用迷你二进制交叉和多项式变异。实现编码  $X_{fly}$ ，则适应度函数为：

$$Fitness(X_{fly}) = -J(X_{fly})$$

- 内层：贪心策略解算投弹方案对于种群中每一个体确定的飞行轨迹，内层算法通过以下步骤计算适应度：

Step 1：生成候选打击集遍历第 i 架无人机飞行路径上的离散时间点 t，对于每一个 t，遍历可能的延时起爆时间，检测生成的烟幕云团能否拦截 M1, M2, M3 中的任意一枚。若能拦截，记录该候选方案。

Step 2：贪心选择对候选方案集按遮蔽时长降序排列。依次选择遮蔽贡献最大的方案加入最终策略，需满足：该无人机已选弹药数  $< 3$ ；与该无人机已选方案的时间间隔  $\geq 1s$ 。

Step 3：计算并集效益汇总所有无人机的投弹方案，分别计算对 M1, M2, M3 的遮蔽时间区间并集，求和得到总分。此方法的优势在于将复杂的时序配合问题解耦：外层负责“站位”（规划航线），内层负责“输出”（寻找最佳开火时机），在保证解的质量的同时大幅降低了计算复杂度。

### 6.5.6 求解结果

通过该算法求解，得到 5 机 3 弹协同拦截 3 枚导弹的最优策略如下表6.5.6所示，总有效遮蔽时间为 28.763s，效果如图6所示。

表 4: 五机协同的详细方案

Drone	BombID	DropTime (s)	ExpTime (s)	Target	CoverDuration (s)	Interval
<b>FY1: 88.19 m/s, 178.35°(3.11 rad)</b>						
FY1	#1	0.00	3.00	M1	3.80	[3.0–6.8]
FY1	#2	1.00	4.00	M	3.80	[4.6–8.4]
<b>FY2: 110.93 m/s, 283.65°(4.95 rad)</b>						
FY2	#1	6.00	9.00	M2	4.00	[9.0–13.0]
FY2	#2	8.00	13.00	M1	0.80	[24.8–25.6]
<b>FY3: 108.05 m/s, 121.72°(2.12 rad)</b>						
FY3	#1	28.00	35.00	M2	3.40	[37.8–41.2]
FY3	#2	25.00	32.00	M3	3.00	[35.6–38.6]
FY3	#3	26.00	33.00	M	1.60	[49.4–51.0]
<b>FY4: 135.80 m/s, 262.62°(4.58 rad)</b>						
FY4	#1	1.00	12.00	M2	4.40	[15.0–19.4]
<b>FY5: 134.90 m/s, 123.38°(2.15 rad)</b>						
FY5	#1	13.00	18.00	M1	4.00	[19.6–23.6]

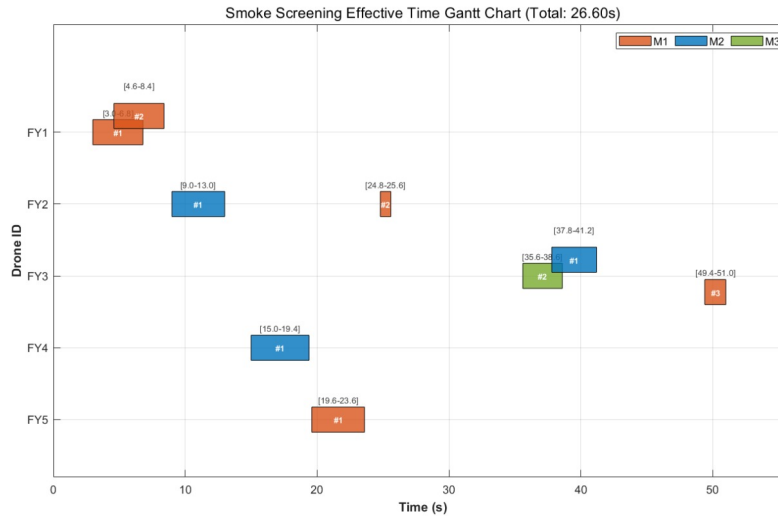


图 6: 五机协同的最优方案

## 7 模型评价

### 7.1 模型的优点

- 考虑了烟幕弹的物理沉降特性，符合实际战场环境。
- 算法具有较强的通用性，可扩展至更多数量的无人机集群。

### 7.2 模型的改进方向

- 当前模型假设导弹不机动，未来可增加导弹末端机动的对抗策略。

## 参考文献

- [1] 作者. 题目. 期刊名, 年份, 卷 (期): 页码.
- [2] 张三. 无人机协同作战理论. 北京: 科学出版社, 2020.
- [3] CUMCM 组委会. 202x 年全国大学生数学建模竞赛赛题.

## 附录：主要代码

### MATLAB 轨迹仿真代码

Listing 1: Problem 1

```

1 clc; clear; close all;
2 %% 1. 参数设置
3 % 烟幕弹参数
4 R_smoke = 10; % 有效遮蔽半径 (阈值)
5 Time_smoke_last = 25; % 延长一点仿真时间以便看全曲线
6 V_smoke_sink = 3; % 烟雾团下沉速度
7 % 物理常数
8 g = 9.8;
9 % 目标位置
10 Pos_FakeTarget = [0, 0, 0]; % 假目标 (导弹飞行的目的地)
11 Pos_TrueTarget_Center = [0, 200, 5]; % 真目标 (我们要保护的对象)
12 %% 2. 计算烟幕弹起爆初始位置
13 % FY1 初始状态
14 Pos_FY1_0 = [17800, 0, 1800];
15 V_FY1 = 120;
16 % 时间节点
17 t_drop = 1.5; % 投放时刻
18 t_delay = 3.6; % 延时时长
19 t_pop = t_drop + t_delay; % 起爆时刻 (5.1s)
20 % 1. 投放点位置 (FY1 飞行 1.5s)
21 Pos_Drop = Pos_FY1_0 + [-1, 0, 0] * V_FY1 * t_drop;
22 % 2. 起爆点初始位置 (平抛运动 3.6s)
23 Delta_X = -1 * V_FY1 * t_delay;
24 Delta_Z = -0.5 * g * t_delay^2;
25 Pos_Smoke_Init = Pos_Drop + [Delta_X, 0, Delta_Z];
26 fprintf('烟幕弹起爆时刻:t=%.2f s\n', t_pop);
27 fprintf('烟幕起爆初始坐标:(%.2f, %.2f, %.2f)\n', Pos_Smoke_Init);
28 %% 3. 计算有效遮蔽时长 (并记录数据用于画图)
29 % M1 初始状态
30 Pos_M1_0 = [20000, 0, 2000];
31 V_M1 = 300;
32 Vec_M1 = Pos_FakeTarget - Pos_M1_0; % 方向指向假目标
33 Dist_M1_Total = norm(Vec_M1);
34 Dir_M1 = Vec_M1 / Dist_M1_Total;
35 % 时间积分设置

```

```

36 dt = 0.05; % 稍微调大一点点dt, 画图不需要太密集
37 valid_time = 0;
38 % --- 初始化数据记录数组 ---
39 t_log = [];% 记录时间
40 dist_log = [];% 记录距离
41 fprintf('正在模拟动态遮挡过程...\n');
42 % 从 t=0 开始记录导弹位置, 但 t<t_pop 时距离设为 NaN 或 到初始点的距离
43 Total_Sim_Time = 30;% 总仿真时长 (对应画图横坐标 0-30s)
44 for t_current = 0 : dt : Total_Sim_Time
45
46     % A. 更新导弹位置 (一直飞)
47     dist_flown = V_M1 * t_current;
48     if dist_flown >= Dist_M1_Total
49         Current_M1_Pos = Pos_FakeTarget;% 已经击中假目标
50     else
51         Current_M1_Pos = Pos_M1_0 + Dir_M1 * dist_flown;
52     end
53
54     % B. 更新烟雾位置 & 计算距离
55     % 只有在时间超过起爆时间后, 烟雾才存在
56     if t_current >= t_pop
57         t_relative = t_current - t_pop;
58
59         % 烟雾下沉
60         if t_relative <= Time_smoke_last
61             Sink_Dist = V_smoke_sink * t_relative;
62             Current_Smoke_Pos = Pos_Smoke_Init - [0, 0, Sink_Dist];
63
64             % --- 计算遮挡距离 (核心算法) ---
65             P1 = Current_M1_Pos;
66             P2 = Pos_TrueTarget_Center;
67             Q = Current_Smoke_Pos;
68
69             v = P2 - P1;
70             w = Q - P1;
71             c1 = dot(w, v);
72             c2 = dot(v, v);
73
74             if c1 <= 0

```

```
75         dist = norm(Q - P1);
76     elseif c2 <= c1
77         dist = norm(Q - P2);
78     else
79         b = c1 / c2;
80         Pb = P1 + b * v;
81         dist = norm(Q - Pb);
82     end
83
84     % 统计有效时间
85     if dist <= R_smoke
86         valid_time = valid_time + dt;
87     end
88
89     else
90         % 烟雾消失了
91         dist = NaN;
92     end
93 else
94     % 还没起爆，计算导弹到"未来起爆点"的距离
95     dist = norm(Pos_Smoke_Init - Current_M1_Pos);
96 end
97
98     % C. 记录数据
99     t_log = [t_log, t_current];
100    dist_log = [dist_log, dist];
101end
102fprintf('-----\n');
103fprintf('>>>最终结果：有效遮蔽时长为：%4f秒<<<\n', valid_time);
104%% 4. 绘图（完全复刻之前的样式）
105figure('Color', 'w', 'Name', '烟幕干扰弹有效遮蔽时间分析');
106hold on; grid on; box on;
107% --- A. 准备填充区域数据 ---
108% 找到距离小于阈值且时间大于起爆时间的索引
109mask = (dist_log <= R_smoke) & (t_log >= t_pop);
110if any(mask)
111    % 提取需要填充的时间段和距离
112    t_fill_data = t_log(mask);
113    dist_fill_data = dist_log(mask);
114
```

```

115 % 构造多边形：上边缘是阈值线，下边缘是实际曲线
116 % 顶点顺序：[左上 -> 曲线点集 -> 右上]
117 X_poly = [t_fill_data, fliplr(t_fill_data)];
118 Y_poly = [dist_fill_data, ones(size(dist_fill_data)) * R_smoke];
119
120 % 绘制淡黄色填充
121 h_area = fill(X_poly, Y_poly, [1 1 0.8], 'EdgeColor', 'none', ...
122     'FaceAlpha', 0.5);
123
124 % 找到有效结束时间（遮蔽区间的最后一个时刻）
125 t_end_effective = t_fill_data(end);
126 else
127     t_end_effective = t_pop; % 如果没遮住，结束时间就标在起爆点
128     h_area = plot(NaN, NaN, 'y'); % 占位符防止legend报错
129 end
130 % --- B. 绘制主要曲线 ---
131 h_dist = plot(t_log, dist_log, 'b-', 'LineWidth', 2);
132 % --- C. 绘制辅助线（阈值、起爆、结束） ---
133 % 1. 阈值红虚线
134 h_thresh = plot([0, 30], [R_smoke, R_smoke], 'r--', 'LineWidth', 1);
135 % 2. 起爆时间绿虚线
136 h_start = xline(t_pop, 'g--', 'LineWidth', 1.5);
137 % 3. 有效结束绿虚线（如果有遮蔽的话）
138 if any(mask)
139     h_end = xline(t_end_effective, 'g--', 'LineWidth', 1.5);
140     % 标注文字：有效结束
141     text(t_end_effective + 0.5, 60, '有效结束', 'Color', 'g', ...
142         'Rotation', 90, 'FontSize', 10);
143 else
144     h_end = plot(NaN, NaN, 'g--'); % 占位
145 end
146 % --- D. 添加文字标注 ---
147 % 起爆时间
148 text(t_pop - 0.8, 60, '起爆时间', 'Color', 'g', 'Rotation', 90, ...
149     'FontSize', 10);
150 text(25, R_smoke + 2, ['阈值' num2str(R_smoke) 'm'], 'Color', 'r', ...
151     'FontSize', 10);
152 % --- E. 图例与坐标轴设置 ---
153 title('烟幕干扰弹有效遮蔽时间分析', 'FontSize', 12);
154 xlabel('时间(s)', 'FontSize', 11);

```

```

151 ylabel('到导弹路径的垂直距离(m)', 'FontSize', 11);
152 xlim([0, 30]);
153 ylim([0, 70]); % 根据你的图片要求定在70, 如果数据很大可以改大
154 legend([h_dist, h_thresh, h_start, h_end, h_area], ...
155     {'距离曲线', '阈值', '起爆时间', '有效结束', '有效遮蔽区间'}, ...
156     'Location', 'north', 'Orientation', 'vertical');
157 hold off;

```

Listing 2: Problem 2

```

1 function Full_Range_PSO_Sweep()
2 clc; close all;
3
4 %% 1. 场景基础参数
5 Env.g = 9.8;
6 Env.Pos_FakeTarget = [0, 0, 0];
7 Env.Pos_TrueTarget = [0, 200, 5];
8 Env.Pos_M1_Init = [20000, 0, 2000];
9 Env.V_M1 = 300;
10 Env.Vec_M = Env.Pos_FakeTarget - Env.Pos_M1_Init;
11 Env.Dir_M1 = Env.Vec_M / norm(Env.Vec_M);
12 Env.Dist_Total_M1 = norm(Env.Vec_M);
13 Env.Pos_FY1_Init = [17800, 0, 1800];
14 Env.V_smoke_sink = 3;
15 Env.R_smoke = 10;
16 Env.Time_smoke_last = 25;
17
18 % === 仿真精度设置 ===
19 % 在PSO搜索阶段使用 1ms 精度, 足够区分优劣且速度可控
20 Env.dt = 0.001;
21
22 %% 2. 扫描设置
23 v_scan_list = 70 : 0.5 : 140; % 您的要求: 70-140, 步长0.5
24 num_scan = length(v_scan_list);
25
26 % 结果存储
27 results_score = zeros(num_scan, 1);
28 results_params = zeros(num_scan, 3); % [航向, 投放, 延时]
29
30 fprintf('=====\\n
        ');

```

```
31     fprintf('全速域PSO暴力扫描(Grid-PSO)\n');
32     fprintf('速度: 70-140m/s | 步长: 0.5m/s | 核心: PSO\n');
33     fprintf('=====\\n');
34
35     try
36         if isempty(gcp('nocreate')), parpool; end
37         fprintf('>>> 并行计算池已就绪，全速运算中...\n');
38     catch
39         fprintf('>>> 并行启动失败，切换为单核运算...\n');
40     end
41
42     timer_start = tic;
43
44 %% 3. 并行扫描循环
45 parfor i = 1 : num_scan
46     v_curr = v_scan_list(i);
47
48     % --- PSO 配置 ---
49     % 在固定的速度下，寻找最佳的 [航向，投放，延时]
50     % 变量维度: 3
51     % 搜索范围:
52     % 航向: 基准 +/- 30度
53     % 投放: 0 - 12秒
54     % 延时: 1 - 8秒
55
56     % 计算基准航向
57     Vec_Base = Env.Pos_TrueTarget - Env.Pos_FY1_Init;
58     Base_Angle = rad2deg(atan2(Vec_Base(2), Vec_Base(1)));
59
60     LB = [Base_Angle-30, 0, 1.0];
61     UB = [Base_Angle+30, 12, 8.0];
62
63     % 运行内置的微型 PSO
64     % 粒子数: 30 (对3维问题足够)
65     % 迭代: 50
66     [best_x, best_val] = Run_Micro_PSO(v_curr, LB, UB, Env);
67
68     % 记录
69     results_score(i) = best_val;
```

```
70     results_params(i, :) = best_x;
71
72     if mod(i, 10) == 0
73         fprintf('... 完成速度 %.1fm/s (最佳遮蔽: %.4fs)\n',
74             v_curr, best_val);
75     end
76
77 total_time = toc(timer_start);
78 fprintf('\n>>> 扫描完成！总耗时: %.2f 秒\n', total_time);
79
80 %% 4. 结果分析与可视化
81 [max_score, idx_best] = max(results_score);
82 best_v = v_scan_list(idx_best);
83 best_p = results_params(idx_best, :);
84
85 fprintf('\n'
86         =====\n');
86 fprintf(' 全局最优解 (Global Optimum)\n');
87 fprintf(' =====\n'
88         ');
88 fprintf('>>> 冠军速度: %.1f m/s\n', best_v);
89 fprintf('>>> 极限遮蔽: %.5f 秒\n', max_score);
90 fprintf('>>> 战术参数: 航向 %.2f 度 | 投放 %.4fs | 延时 %.4fs\n',
91         best_p(1), best_p(2), best_p(3));
92
93 % --- 绘制“速度-性能”全景图 ---
94 figure('Color', 'w', 'Name', 'Speed_vs_Shield_Time');
95 plot(v_scan_list, results_score, 'b-', 'LineWidth', 1.5); hold on
96
97 % 标记关键点
98 xlabel('飞行速度 (m/s)', 'FontSize', 12);
99 ylabel('最大有效遮蔽时长 (s)', 'FontSize', 12);
100 title('全速域战术性能分布图 (PSO 搜索)', 'FontSize', 14);
101 grid on;
102
103 % 自动寻找局部峰值 (比如高速区的峰值)
104 [pks, locs] = findpeaks(results_score);
```

```

105 if ~isempty(pk)
106     % 标记除了全局最优外的另一个显著峰值 (如果有)
107     sorted_pk = sort(pk, 'descend');
108     if length(sorted_pk) > 1 && sorted_pk(2) > 4.0
109         second_pk = sorted_pk(2);
110         % 找到对应速度
111         idx_sec = find(results_score == second_pk, 1);
112         sec_v = v_scan_list(idx_sec);
113         if abs(sec_v - best_v) > 10 % 确保两个峰隔得够远
114             plot(sec_v, second_pk, 'ko', 'MarkerFaceColor', 'y');
115             text(sec_v, second_pk+0.1, sprintf('次优解\n%.1fm/s',
116                                             sec_v), 'HorizontalAlignment', 'center');
117         end
118     end
119 end
120
121 text(best_v, max_score + 0.15, sprintf('全局最优\nV=%.1f\nT=%.4fs',
122                                         best_v, max_score), ...
123     'Color', 'r', 'HorizontalAlignment', 'center', 'FontWeight',
124     'bold');
125
126 %% 5. 最终验证 (使用 0.0001s 航天级精度复核冠军参数)
127 fprintf('\n>>> 正在使用 0.1ms 精度复核冠军方案...\n');
128 final_check_score = Tactical_Sim_Engine(best_v, best_p(1), best_p
129 (2), best_p(3), 0.0001, Env);
130 fprintf('>>> 最终复核得分: %.6f 秒\n', -final_check_score); % 注意引擎返回负值
131
132 % 绘制冠军轨迹
133 Plot_3D_Final(best_v, best_p, Env);
134 end
135
136 %% --- 内部微型 PSO 求解器 ---
137 function [best_pos, best_val] = Run_Micro_PSO(v, lb, ub, Env)
138     % 粒子群参数
139     n_part = 30;
140     n_iter = 50;
141     w = 0.6; c1 = 1.5; c2 = 1.5;
142     n_vars = 3;

```

```
140 % 初始化
141 pos = repmat(lb, n_part, 1) + rand(n_part, n_vars) .* repmat(ub-
    lb, n_part, 1);
142
143 % [种子注入] 针对不同速度段注入经验值，加速收敛
144 if v < 90
145     pos(1,:) = [176.88, 0.01, 2.5]; % 低速经验
146 else
147     pos(1,:) = [178.46, 0.01, 3.3]; % 高速经验
148 end
149
150 vel = zeros(n_part, n_vars);
151
152 pbest_pos = pos;
153 pbest_val = zeros(n_part, 1);
154
155 gbest_pos = zeros(1, n_vars);
156 gbest_val = -1e9; % 初始化为很小的值
157
158 % 评估初始种群
159 for i = 1:n_part
160     % 注意：Sim引擎返回的是负值(为了fminsearch)，这里我们取相反数
161     % 变回正值方便比较
162     val = -Tactical_Sim_Engine(v, pos(i,1), pos(i,2), pos(i,3),
163         Env.dt, Env);
164     pbest_val(i) = val;
165     if val > gbest_val
166         gbest_val = val;
167         gbest_pos = pos(i,:);
168     end
169 end
170
171 % 迭代
172 for t = 1:n_iter
173     for i = 1:n_part
174         r1 = rand(1, n_vars); r2 = rand(1, n_vars);
175         vel(i,:) = w*vel(i,:) + c1*r1.* (pbest_pos(i,:)-pos(i,:))
176             + c2*r2.* (gbest_pos-pos(i,:));
177         pos(i,:) = pos(i,:) + vel(i,:);
178     end
179 end
```

```
176 % 边界限制
177 pos(i,:) = max(pos(i,:), lb);
178 pos(i,:) = min(pos(i,:), ub);
179
180 val = -Tactical_Sim_Engine(v, pos(i,1), pos(i,2), pos(i
181 ,3), Env.dt, Env);
182
183 if val > pbest_val(i)
184     pbest_val(i) = val;
185     pbest_pos(i,:) = pos(i,:);
186 end
187 if val > gbest_val
188     gbest_val = val;
189     gbest_pos = pos(i,:);
190 end
191 end
192
193 best_pos = gbest_pos;
194 best_val = gbest_val;
195 end
196
197 %% --- 仿真核函数 (Cost Function) ---
198 function score = Tactical_Sim_Engine(v, a, td, ty, dt, Env)
199 % 返回负值用于最小化，正值代表遮蔽时长
200
201 % 几何计算
202 ang_rad = deg2rad(a);
203 Dir_Vec = [cos(ang_rad), sin(ang_rad), 0];
204 Vel_Vec = Dir_Vec * v;
205
206 P_Drop = Env.Pos_FY1_Init + Vel_Vec * td;
207 P_Pop = P_Drop + Vel_Vec * ty;
208 P_Pop(3) = P_Pop(3) - 0.5 * Env.g * ty^2;
209
210 % 剪枝：地下
211 if P_Pop(3) < 0
212     score = 0; return;
213 end
214
```

```

215     t_pop = td + ty;
216     t_start = max(0, t_pop);
217     t_end = min(Env.Dist_Total_M1/Env.V_M1, t_pop + Env.
218                 Time_smoke_last);
219
220     if t_start >= t_end
221         score = 0; return;
222     end
223
224     % 矢量化计算
225     t_vec = t_start : dt : t_end;
226     if isempty(t_vec), score=0; return; end
227
228     d_m_vec = Env.V_M1 * t_vec;
229     P_M_mat = Env.Pos_M1_Init' + Env.Dir_M1' * d_m_vec;
230     P_Smk_mat = P_Pop' - [0;0;Env.V_smoke_sink] * (t_vec - t_pop);
231
232     V_LOS_mat = Env.Pos_TrueTarget' - P_M_mat;
233     W_mat = P_Smk_mat - P_M_mat;
234
235     c1 = sum(W_mat .* V_LOS_mat, 1);
236     c2 = sum(V_LOS_mat .* V_LOS_mat, 1);
237
238     b = c1 ./ c2;
239
240     % 垂足修正
241     Pb = P_M_mat + V_LOS_mat .* b;
242     idx_less = b < 0; if any(idx_less), Pb(:, idx_less) = P_M_mat(:, idx_less); end
243     idx_more = b > 1; if any(idx_more), Pb(:, idx_more) = repmat(Env.
244                     Pos_TrueTarget', 1, sum(idx_more)); end
245
246     dists_sq = sum((P_Smk_mat - Pb).^2, 1);
247
248     count = sum(dists_sq <= Env.R_smoke^2);
249     score = -(count * dt); % 返回负值
250
251 %% --- 绘图 ---
252 function Plot_3D_Final(v, params, Env)

```

```

252     a=params(1); td=params(2); ty=params(3);
253     ang_rad = deg2rad(a);
254     Vel_Vec = [cos(ang_rad), sin(ang_rad), 0] * v;
255     P_Drop = Env.Pos_FY1_Init + Vel_Vec * td;
256     P_Pop = P_Drop + Vel_Vec * ty;
257     P_Pop(3) = P_Pop(3) - 0.5 * Env.g * ty^2;
258
259     figure('Color','w'); hold on; grid on; axis equal; view([-20,
260         25]);
260     plot3(Env.Pos_TrueTarget(1), Env.Pos_TrueTarget(2), Env.
261         Pos_TrueTarget(3), 'go', 'MarkerSize', 10, 'MarkerFaceColor', 'g');
261     plot3(Env.Pos_FakeTarget(1), Env.Pos_FakeTarget(2), Env.
262         Pos_FakeTarget(3), 'kp', 'MarkerSize', 10, 'MarkerFaceColor', 'k');
262     plot3([Env.Pos_FY1_Init(1) P_Drop(1)], [Env.Pos_FY1_Init(2) P_Drop
263         (2)], [Env.Pos_FY1_Init(3) P_Drop(3)], 'b-');
263     plot3([P_Drop(1) P_Pop(1)], [P_Drop(2) P_Pop(2)], [P_Drop(3) P_Pop
264         (3)], 'k:');
264     plot3(P_Pop(1), P_Pop(2), P_Pop(3), 'rh', 'MarkerFaceColor', 'r',
265         'MarkerSize', 14);
265     line([Env.Pos_M1_Init(1) Env.Pos_TrueTarget(1)], [Env.Pos_M1_Init
266         (2) Env.Pos_TrueTarget(2)], [Env.Pos_M1_Init(3) Env.
267             Pos_TrueTarget(3)], 'Color', [0.7 0.7 0.7], 'LineStyle', '--');
268     title(['GlobalOptimal: V=' num2str(v) ' m/s']);
269     legend('True', 'Fake', 'FY1', 'Bomb', 'Pop', 'LOS');
270 end

```

Listing 3: Problem 3

```

1 clc; clear; close all;
2
3 %% 1. 参数初始化
4 % 粒子群算法参数
5 n_particles = 200;          % 增加粒子数以覆盖更大的搜索空间(8维)
6 n_iterations = 300;         % 增加迭代次数
7 c1 = 2.0; c2 = 2.0;
8 w_max = 0.9; w_min = 0.4;
9
10 % 变量设计 (8维):

```

```

11 % x(1): 速度 v (70-140)
12 % x(2): 航向 theta (0-2pi)
13 % x(3): 第1枚投放时刻 t1 (0-60)
14 % x(4): 第1枚与第2枚的时间间隔 dt12 (1-30) -> 保证了间隔>=1s
15 % x(5): 第2枚与第3枚的时间间隔 dt23 (1-30) -> 保证了间隔>=1s
16 % x(6): 第1枚起爆延时 delay1 (0-15)
17 % x(7): 第2枚起爆延时 delay2 (0-15)
18 % x(8): 第3枚起爆延时 delay3 (0-15)
19
20 lb = [70, 0, 0, 1, 1, 0, 0, 0];
21 ub = [140, 2*pi, 60, 20, 20, 15, 15, 15];
22
23 % 速度限制
24 v_max = 0.15 * (ub - lb);
25 v_min = -v_max;
26
27 %% 2. 种群初始化
28 particles = repmat(lb, n_particles, 1) + rand(n_particles, 8) .* (ub
    - lb);
29 velocities = zeros(n_particles, 8);
30
31 pbest_pos = particles;
32 pbest_val = inf(n_particles, 1);
33 gbest_pos = zeros(1, 8);
34 gbest_val = inf;
35
36 stagnation_counter = 0; % 停滞计数器，用于判断是否陷入局部最优
37
38 %% 3. PSO 主循环
39 disp('开始多烟幕弹协同优化(引入灾变机制防止局部最优)...');
40 tic;
41
42 for iter = 1:n_iterations
43     w = w_max - (w_max - w_min) * iter / n_iterations;
44
45     current_gbest_improved = false;
46
47     for i = 1:n_particles
48         current_x = particles(i, :);
49         current_x(1) = round(current_x(1)); % 速度取整

```

```
50
51    % 边界处理
52    current_x = max(current_x, lb);
53    current_x = min(current_x, ub);
54
55    % 计算适应度 (核心修改：支持3枚弹)
56    fitness = calculate_fitness_multi(current_x);
57
58    % 更新个体最优
59    if fitness < pbest_val(i)
60        pbest_val(i) = fitness;
61        pbest_pos(i, :) = current_x;
62    end
63
64    % 更新全局最优
65    if fitness < gbest_val
66        gbest_val = fitness;
67        gbest_pos = current_x;
68        current_gbest_improved = true;
69    end
70 end
71
72 % --- 灾变机制（防止陷入局部最优） ---
73 if current_gbest_improved
74     stagnation_counter = 0;
75 else
76     stagnation_counter = stagnation_counter + 1;
77 end
78
79 % 如果连续20代没有进步，触发“小灾变”：重置部分粒子
80 if stagnation_counter > 20 && iter < n_iterations - 50
81     disp(['>> 检测到局部最优停滞，触发灾变重置']);
82     num2str(iter));
83     % 保留前 10% 的精英，重置其余 90%
84     n_keep = round(n_particles * 0.1);
85     [~, sorted_idx] = sort(pbest_val);
86     for k = n_keep+1 : n_particles
87         idx = sorted_idx(k);
88         particles(idx, :) = lb + rand(1, 8) .* (ub - lb);
89         velocities(idx, :) = zeros(1, 8);
```

```
89         pbest_val(idx) = inf; % 重置历史记忆
90     end
91     stagnation_counter = 0;
92 end
93
94 % 粒子更新公式
95 for i = 1:n_particles
96     r1 = rand(1, 8);
97     r2 = rand(1, 8);
98
99     velocities(i,:) = w * velocities(i,:) ...
100        + c1 * r1 .* (pbest_pos(i,:) - particles(i,:)) ...
101        + c2 * r2 .* (gbest_pos - particles(i,:));
102
103     velocities(i,:) = max(min(velocities(i,:), v_max), v_min);
104     particles(i,:) = particles(i,:) + velocities(i,:);
105
106 % 变异操作 (5%概率)
107 if rand < 0.05
108     dim = randi(8);
109     particles(i, dim) = lb(dim) + rand * (ub(dim) - lb(dim));
110 end
111 particles(i,:) = max(min(particles(i,:), ub), lb);
112 end
113
114 % 进度显示
115 if mod(iter, 10) == 0 || iter == 1
116     real_time = 0;
117     if gbest_val < -1000, real_time = -(gbest_val + 10000); end
118     fprintf('迭代%d/%d, 当前最佳遮蔽时长:%.5f秒(停滞:%d)\n',
119             ...
120             iter, n_iterations, real_time, stagnation_counter);
121 end
122 toc;
123
124 %% 4. 结果解析与输出
125 best_params = gbest_pos;
126 best_params(1) = round(best_params(1));
127
```

```

128 % 解码时间参数
129 t_drop1 = best_params(3);
130 t_drop2 = t_drop1 + best_params(4);
131 t_drop3 = t_drop2 + best_params(5);
132 t_delay1 = best_params(6);
133 t_delay2 = best_params(7);
134 t_delay3 = best_params(8);
135
136 % 最终高精度验证
137 final_time = calculate_masking_pure_multi(best_params, 0.00001);
138
139 fprintf('-----最终优化结果(Problem3)-----
140 -----');
140 fprintf('最大有效遮蔽时长: %.5f 秒\n', final_time);
141 fprintf('策略详情: \n');
142 fprintf('无人机速度: %.2fm/s\n', best_params(1));
143 fprintf('无人机航向: %.4f rad(%.2f 度)\n', best_params(2), rad2deg(
144 best_params(2)));
144 fprintf('\n[烟弹1] 投放时刻: %.4fs, 起爆延时: %.4fs, 起爆时刻: %
145 %.4fs\n', t_drop1, t_delay1, t_drop1+t_delay1);
145 fprintf('[烟弹2] 投放时刻: %.4fs, 起爆延时: %.4fs, 起爆时刻: %
146 %.4fs\n', t_drop2, t_delay2, t_drop2+t_delay2);
146 fprintf('[烟弹3] 投放时刻: %.4fs, 起爆延时: %.4fs, 起爆时刻: %
147 %.4fs\n', t_drop3, t_delay3, t_drop3+t_delay3);
147 fprintf('注: 投放间隔分别为 %.4fs 和 %.4fs(均满足>=1s约束)\n',
148 best_params(4), best_params(5));
149
150 %% ===== 子函数定义区域 =====
151
152 function fitness = calculate_fitness_multi(x)
153 % 1. 解码所有参数
154 v = x(1); theta = x(2);
155 t_d1 = x(3);
156 t_d2 = t_d1 + x(4); % 确保间隔
157 t_d3 = t_d2 + x(5); % 确保间隔
158 del1 = x(6); del2 = x(7); del3 = x(8);
159
160 % 2. 计算3枚弹的运动学参数
161 [init_pos_m1, v_vec_m1, target_pos] = get_env_params(v, theta);

```

```
162
163 [exp1, pos1] = get_bomb_kinematics(v, theta, t_d1, del1);
164 [exp2, pos2] = get_bomb_kinematics(v, theta, t_d2, del2);
165 [exp3, pos3] = get_bomb_kinematics(v, theta, t_d3, del3);
166
167 % 物理约束：任何一枚在地下爆炸都给予惩罚
168 if pos1(3)<0 || pos2(3)<0 || pos3(3)<0
169     fitness = 1e6; return;
170 end
171
172 % 3. 确定仿真时间范围
173 smoke_dur = 20;
174 t_hit = norm(init_pos_m1) / 300;
175
176 % 整个遮蔽过程是3个区间的并集，我们取最早起爆到最晚结束
177 t_start_global = min([exp1, exp2, exp3]);
178 t_end_global = max([exp1, exp2, exp3]) + smoke_dur, t_hit);
179
180 if t_start_global >= t_end_global
181     fitness = 1e5; return;
182 end
183
184 % --- 智能扫描策略 ---
185
186 % A. 粗扫描 (0.1s)
187 dt_coarse = 0.1;
188 T_coarse = t_start_global : dt_coarse : t_end_global;
189 if isempty(T_coarse), fitness = 1e5; return; end
190
191 min_dist_global = inf;
192 potential_times = [];
193
194 % 预计算导弹位置
195 Pm_c = init_pos_m1 + v_vec_m1 .* T_coarse(:);
196 Pt = target_pos;
197
198 for k = 1:length(T_coarse)
199     t = T_coarse(k);
200     pm = Pm_c(k,:);
201     vec_line = Pt - pm;
```

```
202 norm_line = norm(vec_line);
203
204 dist_min_k = inf;
205
206 % 检查3个烟雾团
207 clouds = [exp1, pos1; exp2, pos2; exp3, pos3]; % 3x4 matrix
208 for m = 1:3
209     t_exp = clouds(m, 1);
210     p_exp = clouds(m, 2:4);
211
212     % 只有在烟雾存续期内才计算
213     if t >= t_exp && t <= t_exp + smoke_dur
214         ps = p_exp;
215         ps(3) = ps(3) - 3 * (t - t_exp); % 下沉
216
217         vec_point = ps - pm;
218         d = norm(cross(vec_point, vec_line)) / norm_line;
219         if d < dist_min_k, dist_min_k = d; end
220     end
221 end
222
223 if dist_min_k < min_dist_global, min_dist_global = dist_min_k
224 ; end
225 if dist_min_k < 18, potential_times = [potential_times; t];
226 end
227
228 % B. 精细计算
229 if isempty(potential_times)
230     fitness = min_dist_global;
231 else
232     dt_fine = 0.0001;
233     window = 0.06;
234     all_fine_times = [];
235
236     for t_center = potential_times'
237         t_sub = (max(t_start_global, t_center - window) : dt_fine
238                  : min(t_end_global, t_center + window))';
239         t_sub = round(t_sub / dt_fine) * dt_fine; % 网格对齐
240         all_fine_times = [all_fine_times; t_sub];
241     end
242 end
```

```
239     end
240
241     if isempty(all_fine_times), fitness = min_dist_global; return
242         ; end
243
244     T_fine = unique(all_fine_times);
245
246     mask_count = 0;
247
248     % 向量化比较麻烦，这里用循环处理这3个球
249     % 为了加速，把3个球的信息展开
250     exp_times = [exp1, exp2, exp3];
251     pos_starts = [pos1; pos2; pos3];
252
253     for j = 1:length(T_fine)
254         t = T_fine(j);
255         pm = Pm_f(j,:);
256         vec_line = Pt - pm;
257         norm_line = norm(vec_line);
258
259         is_masked = false;
260
261         % 遍历3个球
262         for m = 1:3
263             if t >= exp_times(m) && t <= exp_times(m) + smoke_dur
264                 ps = pos_starts(m, :);
265                 ps(3) = ps(3) - 3 * (t - exp_times(m));
266
267                 vec_point = ps - pm;
268                 % 快速判断距离平方
269                 cp = cross(vec_point, vec_line);
270                 d2 = sum(cp.^2) / (norm_line^2);
271
272                 if d2 <= 100 % 10^2
273                     is_masked = true;
274                     break; % 只要被任意一个遮住就算遮住
275                 end
276             end
277         end
```

```
278
279     if is_masked
280         mask_count = mask_count + 1;
281     end
282 end
283
284 fitness = -(mask_count * dt_fine) - 10000;
285 end
286
287
288 function mask_time = calculate_masking_pure_multi(x, dt)
289 % 解码
290 v = x(1); theta = x(2);
291 t_d1 = x(3); t_d2 = t_d1 + x(4); t_d3 = t_d2 + x(5);
292 del1 = x(6); del2 = x(7); del3 = x(8);
293
294 [init_pos_m1, v_vec_m1, target_pos] = get_env_params(v, theta);
295 [exp1, pos1] = get_bomb_kinematics(v, theta, t_d1, del1);
296 [exp2, pos2] = get_bomb_kinematics(v, theta, t_d2, del2);
297 [exp3, pos3] = get_bomb_kinematics(v, theta, t_d3, del3);
298
299 smoke_dur = 20;
300 t_hit = norm(init_pos_m1) / 300;
301 t_start = min([exp1, exp2, exp3]);
302 t_end = min(max([exp1, exp2, exp3]) + smoke_dur, t_hit);
303
304 if t_start >= t_end, mask_time=0; return; end
305
306 T = t_start : dt : t_end;
307 count = 0;
308
309 exp_times = [exp1, exp2, exp3];
310 pos_starts = [pos1; pos2; pos3];
311
312 for k = 1:length(T)
313     t = T(k);
314     pm = init_pos_m1 + v_vec_m1 * t;
315     vec_line = target_pos - pm;
316     norm_line = norm(vec_line);
```

```
318     masked = false;
319     for m = 1:3
320         if t >= exp_times(m) && t <= exp_times(m) + smoke_dur
321             ps = pos_starts(m, :);
322             ps(3) = ps(3) - 3 * (t - exp_times(m));
323
324             vec_point = ps - pm;
325             d = norm(cross(vec_point, vec_line)) / norm_line;
326             if d <= 10
327                 masked = true; break;
328             end
329         end
330     end
331     if masked, count = count + 1; end
332 end
333 mask_time = count * dt;
334 end
335
336 function [init_pos_m1, v_vec_m1, target_pos] = get_env_params(v,
337     theta)
338     init_pos_m1 = [20000, 0, 2000];
339     fake_target = [0, 0, 0];
340     dir_m1 = (fake_target - init_pos_m1) / norm(fake_target -
341         init_pos_m1);
342     v_vec_m1 = dir_m1 * 300;
343     target_pos = [0, 200, 0];
344 end
345
346 function [t_explode, explode_pos] = get_bomb_kinematics(v_mag, theta,
347     t_drop, t_delay)
348     init_pos_uav = [17800, 0, 1800];
349     v_vec_uav = [v_mag * cos(theta), v_mag * sin(theta), 0];
350     drop_pos = init_pos_uav + v_vec_uav * t_drop;
351
352     g = 9.8;
353     explode_pos = drop_pos;
354     explode_pos(1) = drop_pos(1) + v_vec_uav(1) * t_delay;
355     explode_pos(2) = drop_pos(2) + v_vec_uav(2) * t_delay;
356     explode_pos(3) = drop_pos(3) - 0.5 * g * t_delay^2;
```

```

355     t_explode = t_drop + t_delay;
356 end

```

Listing 4: Problem 4

```

1 function Problem4_MultiUAV_Strict()
2     clc; close all;
3
4 %% 1. 全局环境参数 (Env)
5 Env.g = 9.8;
6 Env.Pos_True = [0, 200, 0];
7 Env.Pos_M1 = [20000, 0, 2000];
8 Env.V_M1 = 300;
9 Env.Vec_M = [0, 0, 0] - Env.Pos_M1;
10 Env.Dist_M1 = norm(Env.Vec_M);
11 Env.Dir_M1 = Env.Vec_M / Env.Dist_M1;
12 Env.V_sink = 3;
13 Env.R_smk = 10;
14 Env.T_last = 20;
15
16 Env.Pos_UAVs =
17     17800, 0, 1800; % FY1
18     12000, 1400, 1400; % FY2
19     6000, -3000, 700 % FY3
20 ];
21
22 %% 2. 优化参数设置 (已修正速度约束)
23
24 % 估算基准航向
25 Base_Ang1 = rad2deg(atan2(200 - 0, 0 - 17800));
26 Base_Ang2 = rad2deg(atan2(200 - 1400, 0 - 12000));
27 Base_Ang3 = rad2deg(atan2(200 + 3000, 0 - 6000));
28
29 % === [修正点]: 将速度下界从 60 改为 70 ===
30 % 变量顺序: [V, Ang, T_drop, T_delay] * 3架
31 LB = [70, Base_Ang1-45, 0, 1, 70, Base_Ang2-45, 0, 1, 70,
32     Base_Ang3-45, 0, 1];
33 UB = [140, Base_Ang1+45, 15, 8, 140, Base_Ang2+45, 35, 8, 140,
34     Base_Ang3+45, 55, 8];
35 de_opts.NP = 200;

```

```

35     de_opts.MaxIter = 800;
36     de_opts.F = 0.5;
37     de_opts.CR = 0.9;
38
39     fprintf('=====\\n');
40     fprintf('uuuuuuu 问题4：三机协同立体封锁(速度修正版)70-140)\\n');
41     fprintf('=====\\n');
42
43 try, if isempty(gcp('nocreate')), parpool; end; end
44
45 CostFunc = @(x) CostFunc_3UAV(x, Env);
46
47 tic;
48 [best_x, best_val, curve] = Run_DE_3UAV(CostFunc, LB, UB, de_opts);
49 total_time = toc;
50
51 %% 3. 结果解析与输出
52 [~, real_shield_time] = CostFunc_3UAV(best_x, Env);
53 Res = Parse_Parms(best_x);
54
55 fprintf('\\n>>> 优化完成！耗时: %.2f 秒\\n', total_time);
56 fprintf('>>> 最终最大遮蔽时长: %.4f 秒\\n', real_shield_time);
57
58 fprintf('\\n[战术指令表]\\n');
59 fprintf(' | 机号 | 初始位置(X,Y,Z) | 速度(m/s) | 航向(deg) | 投放(s) | 延时(s) | 起爆(s) |\\n');
60 fprintf(' |-----|-----|-----|-----|-----|-----|-----|-----|\\n');
61 fprintf(' | FY1 | (%5d,%5d,%4d) | %9.2f | %9.2f | %7.2f | %7.2f | %7.2f | %7.2f |\\n', ...
62     Env.Pos_UAVs(1,:), Res(1).v, Res(1).a, Res(1).td, Res(1).ty,
63     Res(1).tp);
64 fprintf(' | FY2 | (%5d,%5d,%4d) | %9.2f | %9.2f | %7.2f | %7.2f | %7.2f | %7.2f |\\n', ...
65     Env.Pos_UAVs(2,:), Res(2).v, Res(2).a, Res(2).td, Res(2).ty,
66     Res(2).tp);

```

```

65     fprintf('FY3|(%5d,%5d,%4d)|%9.2f|%9.2f|%7.2f|%7.2f|\n',
66         ...,
67         Env.Pos_UAVs(3,:), Res(3).v, Res(3).a, Res(3).td, Res(3).ty,
68         Res(3).tp);
69
70 %% 4. 绘图
71 Plot_3UAV_Scenario(Res, real_shield_time, curve, Env);
72 Save_To_Excel(Res, 'result2.xlsx');
73 end
74 %% =====
75 % 局部函数库 (保持不变, 仅 CostFunc_3UAV 内部也加一道保险)
76 % =====
77 function Res = Parse_Params(x)
78     for i = 1:3
79         idx = (i-1)*4;
80         Res(i).v = x(idx+1);
81         Res(i).a = x(idx+2);
82         Res(i).td = x(idx+3);
83         Res(i).ty = x(idx+4);
84         Res(i).tp = Res(i).td + Res(i).ty;
85     end
86 end
87
88 function [score, pure_time] = CostFunc_3UAV(x, Env)
89     Res = Parse_Params(x);
90
91     % --- [保险修正]: 并在内部逻辑中再次检查边界 ---
92     for i=1:3
93         if Res(i).v < 70 || Res(i).v > 140 % 严格限制 70-140
94             score = 1e6; pure_time = 0; return;
95         end
96     end
97
98     % ... (其余物理计算逻辑与之前完全一致, 此处省略以节省篇幅) ...
99     % 您之前复制的 CostFunc_3UAV 代码逻辑在这里保持不变
100
101    % ----- 粘贴之前的 CostFunc_3UAV 逻辑 -----
102    P_Pop = zeros(3, 3);

```

```

103     Times_Pop = zeros(3, 1);
104     for i = 1:3
105         ang_rad = deg2rad(Res(i).a);
106         Vel_Vec = [cos(ang_rad), sin(ang_rad), 0] * Res(i).v;
107         P_Drop = Env.Pos_UAVs(i,:) + Vel_Vec * Res(i).td;
108         Disp = Vel_Vec * Res(i).ty;
109         Disp(3) = Disp(3) - 0.5 * 9.8 * Res(i).ty^2;
110         P_Pop(i,:) = P_Drop + Disp;
111         Times_Pop(i) = Res(i).tp;
112         if P_Pop(i,3) < 0, score = 1e5; pure_time = 0; return; end
113     end
114
115     t_start = min(Times_Pop);
116     t_end = min(Env.Dist_M1/Env.V_M1, max(Times_Pop) + Env.T_last);
117     if t_start >= t_end, score = 1e5; pure_time = 0; return; end
118
119     Target_Points = [0, 200, 5; 0, 200, 10; 0, 200, 0; -7, 200, 5; 7,
120                     200, 5];
121     num_pts = 5;
122     dt = 0.05; t_vec = t_start : dt : t_end;
123     total_coverage = 0;
124     penalty_dist = 0;
125     min_dists = [1e9, 1e9, 1e9];
126
127     for t = t_vec
128         P_M = Env.Pos_M1 + Env.Dir_M1 * (Env.V_M1 * t);
129         blocked_pts_count = 0;
130         for p = 1:num_pts
131             TP = Target_Points(p,:);
132             v_los = TP - P_M;
133             len_los_sq = sum(v_los.^2);
134             is_pt_blocked = false;
135             for k = 1:3
136                 if t >= Times_Pop(k) && t <= Times_Pop(k) + Env.
137                     T_last
138                     P_Smk = P_Pop(k,:) - [0, 0, Env.V_sink * (t -
139                     Times_Pop(k))];
140                     w_vec = P_Smk - P_M;
141                     c1 = dot(w_vec, v_los);
142                     if c1 > 0

```

```

140             b = max(0, min(1, c1 / len_los_sq));
141             Pb = P_M + v_los * b;
142             d_sq = sum((P_Smk - Pb).^2);
143             dist = sqrt(d_sq);
144             if p == 1 && dist < min_dists(k), min_dists(k)
145                 ) = dist; end
146             if d_sq <= Env.R_smk^2, is_pt_blocked = true;
147                 end
148             end
149             if is_pt_blocked, blocked_pts_count = blocked_pts_count +
150                 1; end
151             end
152             total_coverage = total_coverage + (blocked_pts_count /
153                 num_pts) * dt;
154         end
155         pure_time = total_coverage;
156         for k=1:3, penalty_dist = penalty_dist + max(0, min_dists(k) -
157             Env.R_smk); end
158         score = -total_coverage + 0.1 * penalty_dist;
159     end
160
161 %% --- DE 求解器 (修正种子速度) ---
162 function [best_mem, best_val, curve] = Run_DE_3UAV(cost_func, lb, ub,
163     opts)
164     NP = opts.NP; D = length(lb);
165     pop = repmat(lb, NP, 1) + rand(NP, D) .* repmat(ub-lb, NP, 1);
166
167     % === [修正点]: 种子的速度也必须符合 70-140 约束 ===
168     % FY1 修正为 73 (低速流最优), FY2/FY3 为 120 (高速流)
169     pop(1,:) = [73, 180, 0, 3, 120, 190, 15, 4, 120, 150, 35, 5];
170     pop(2,:) = [140, 180, 0, 3, 140, 190, 20, 3, 140, 150, 40, 3];
171
172     val = zeros(NP, 1);
173     parfor i=1:NP, val(i) = cost_func(pop(i,:)); end
174     [best_val, idx] = min(val);
175     best_mem = pop(idx, :);
176     curve = zeros(opts.MaxIter, 1);

```

```

174 h = waitbar(0, 'Multi-UAV Optimization...');
175 for gen = 1 : opts.MaxIter
176     F = opts.F * (1 - 0.3 * gen/opts.MaxIter);
177     pop_new = pop; val_new = val;
178     parfor i = 1 : NP
179         r = randperm(NP, 3);
180         mutant = best_mem + F * (pop(r(1), :) - pop(r(2), :));
181         trial = pop(i, :);
182         j_rand = randi(D);
183         for j = 1 : D
184             if rand < opts.CR || j == j_rand, trial(j) = mutant(j)
185             ); end
186         end
187         trial = max(trial, lb); trial = min(trial, ub);
188         t_v = feval(cost_func, trial);
189         if t_v < val(i), pop_new(i, :) = trial; val_new(i) = t_v;
190             end
191         end
192         pop = pop_new; val = val_new;
193         [c_best, idx] = min(val);
194         if c_best < best_val, best_val = c_best; best_mem = pop(idx,
195             :); end
196         curve(gen) = -best_val;
197         if mod(gen, 50) == 0
198             [~, t_real] = feval(cost_func, best_mem);
199             waitbar(gen/opts.MaxIter, h, sprintf('Iter %d: %.2fs',
200                 gen, t_real));
201             fprintf(' Iter %d: 引导得分 %.4f | 真实遮蔽 %.4fs\n',
202                 gen, best_val, t_real);
203         end
204     end
205     close(h);
206 end
207 %% --- 绘图与保存 (保持不变) ---
208 function Plot_3UAV_Scenario(Res, score, curve, Env)
209     figure('Color','w', 'Position', [50, 50, 1200, 600]);
210     subplot(1, 2, 1); hold on; grid on; axis equal; view([-30, 30]);
211     plot3(Env.Pos_True(1), Env.Pos_True(2), Env.Pos_True(3), 'go',
212           'MarkerSize', 12, 'MarkerFaceColor', 'g');

```

```

208 plot3(Env.Pos_M1(1), Env.Pos_M1(2), Env.Pos_M1(3), 'rv', '
209     MarkerSize', 10, 'MarkerFaceColor','r');
210 colors = {'b', 'm', [0 0.5 0]};
211 for i = 1:3
212     ang = deg2rad(Res(i).a);
213     V = [cos(ang), sin(ang), 0] * Res(i).v;
214     P0 = Env.Pos_UAVs(i,:);
215     P_Drop = P0 + V * Res(i).td;
216     plot3([P0(1) P_Drop(1)], [P0(2) P_Drop(2)], [P0(3) P_Drop(3)
217         ], '- ', 'Color', colors{i}, 'LineWidth', 1.5);
218     text(P0(1), P0(2), P0(3)+200, sprintf('FY%d',i), 'Color',
219         colors{i});
220     P_Pop = P_Drop + V * Res(i).ty - [0,0,0.5*9.8*Res(i).ty^2];
221     plot3(P_Pop(1), P_Pop(2), P_Pop(3), 'h', 'MarkerSize', 14,
222         'MarkerFaceColor', colors{i});
223     plot3([P_Drop(1) P_Pop(1)], [P_Drop(2) P_Pop(2)], [P_Drop(3)
224         P_Pop(3)], 'k:');
225 end
226 line([Env.Pos_M1(1) Env.Pos_True(1)], [Env.Pos_M1(2) Env.Pos_True
227     (2)], [Env.Pos_M1(3) Env.Pos_True(3)], ...
228     'Color', [0.6 0.6 0.6], 'LineStyle', '--');
229 xlabel('X'); ylabel('Y'); zlabel('Z');
230 title('三机协同立体封锁示意图');
231 subplot(1, 2, 2); hold on; grid on;
232 for i=1:3
233     tp = Res(i).tp;
234     fill([tp, tp+Env.T_last, tp+Env.T_last, tp], [i-0.3, i-0.3, i
235         +0.3, i+0.3], colors{i}, 'FaceAlpha', 0.6);
236     text(tp, i, sprintf('□Start:□%.1fs', tp));
237 end
238 title(['' 协同遮蔽时序(总长: '' num2str(score) 's)'']);
239 xlabel('时间(s)'); ylim([0 4]); yticks([1 2 3]); yticklabels({''
240     FY1','FY2','FY3'});
241 end
242
243 function Save_To_Excel(Res, filename)
244     data = zeros(3, 5);
245     for i=1:3
246         data(i,1) = Res(i).v;
247         data(i,2) = Res(i).a;

```

```
240     data(i,3) = Res(i).td;
241     data(i,4) = Res(i).ty;
242     data(i,5) = Res(i).tp;
243 end
244 try, writematrix(data, filename); catch, end
245 end
```